

سالگرد  
پیغمبر



دانشکده فنی

گروه مهندسی مکانیک

گرایش طراحی کاربردی

## کنترل بهینه ربات دو پا در صفحه جانبی برای گام برداری بر روی سطح شبیدار

از:

میلاد طاهر خورستنی

استاد راهنما:

دکتر احمد باقری

استاد مشاور:

دکتر نادر نریمان زاده

تاریخ دفاع: ۱۳۹۰/۱۱/۲۴ ساعت: ۱۰ آمیخته تئاتر دانشکده فنی

بهمن ۱۳۹۰

تقدیم به:

مادر و پدر مهربانیم

و

همسر عزیزتر از جانم

به پاس فداکاری ها و مهربانی هایشان

## تقدیر و تشکر

از جناب آقای دکتر احمد باقری، استاد راهنمای ارجمند، که این پایان نامه مرهون کمک های بی دریغ و دلسوزانه ایشان می باشد، کمال تشکر را دارم.

از جناب آقای دکتر نادر نریمان زاده، استاد مشاور بزرگوارم، که همواره پاسخگوی پرسش های اینجانب بوده اند، بسیار سپاسگزارم.

از استاد ارجمند، جناب آقای مهندس بهنام میری پور که با صبر و حوصله بسیار مرا در پیشبرد این پژوهش یاری کردند، تشکر فراوان دارم.

از جناب آقای مهندس محمود آبادی به پاس یاری های فراوانشان در انجام این پژوهش سپاس گذاری می کنم.

همچنین بر خود واجب می دانم که از اساتیدم، جناب آقای دکتر علی چاییخش، جناب آقای دکتر علی جمالی و جناب آقای دکتر محمد ابراهیم فنزی که از راهنمایی هایشان بهره مند گشتم و تمامی دوستانی که مرا یاری نمودند، قدر دانی نمایم.

# فهرست مطالب

.....	فهرست مطالب
خ.....	فهرست شکل‌ها
ذ.....	فهرست جدول‌ها
ر.....	چکنجه فارسی
ز.....	چکنجه انگلیسی
۱.....	<b>فصل اول: پیشگفتار</b>
۲.....	۱-۱ مقدمه
۳.....	۲-۱ ربات‌های دوپا
۸.....	۳-۱ ربات‌های چهار پا
۹.....	۴-۱ ربات‌های شش پا
۱۰.....	۵-۱ مروری بر تحقیقات پیشین
۱۲.....	۶-۱ نحوه سازمان دهی مطالب ارائه شده در پایان نامه
۱۳.....	<b>فصل دوم: مدل سازی ربات دوپا در صفحه جانبی</b>
۱۴.....	۱-۲ مقدمه
۱۴.....	۲-۱ الگوی راه رفتن
۱۷.....	۲-۲ راه رفتن استاتیکی
۱۸.....	۲-۲ راه رفتن دینامیکی
۱۸.....	۳-۱ مدل دینامیکی ربات دوپا در صفحه جانبی
۲۱.....	۴-۱ نقطه ممان صفر
۲۳.....	<b>فصل سوم: کنترل مدد لغزشی</b>
۲۴.....	۱-۳ مقدمه

۲۵.....	۳-۲ سطوح لغزشی.....
۲۶.....	۳-۳ ساده سازی نمادین.....
۲۹.....	۳-۴ دینامیک های معادل.....
۳۲.....	۳-۵ پدیده لرزش.....
۳۳.....	۳-۶ لايه مرزي.....
۴۴.....	<b>فصل چهارم: بهينه سازی تجمعی ذره.....</b>
۴۵.....	۴-۱ مقدمه.....
۴۵.....	۴-۲ روش بهينه يابي تجمعی ذره استاندارد.....
۴۷ .....	۴-۲-۱ انواع همسایگی ها.....
۵۱.....	۴-۲-۲ شبه برنامه روش بهينه سازی تک هدفي تجمعی ذره اصلی.....
۵۲.....	۴-۳ مروری بر روش های ارائه شده پيشين در بهينه سازی تک هدفه.....
۵۳.....	۴-۴ عملگر همگرایي.....
۵۴.....	۴-۵ عملگر واگرایي.....
۵۵.....	۴-۶ ترکيب عملگر همگرایي و واگرایي .....
۵۷.....	۴-۷ مفاهيم اساسی بهينه سازی چند هدفی.....
۶۰ .....	۴-۸ بهينه سازی چند هدفي تجمعی ذره.....
۶۲.....	۴-۹ آرشيو خارجي.....
۶۴.....	۴-۱۰ مروری بر روش های ارائه شده پيشين در بهينه سازی چند هدفه.....
۶۶.....	۴-۱۱ بهينه سازی چند هدفه متناوب.....
۶۹ .....	<b>فصل پنجم: کنترل بهينه ربات دوپا در صفحه جانبی .....</b>
۷۰ .....	۵-۱ مقدمه.....
۷۱.....	۵-۲ کنترل مد لغزشی ربات دوپا.....

۳-۵ بهینه سازی کنترل لغزشی ربات دوپا با استفاده از بهینه سازی چند هدفه تجمعی ذره.....	۷۲
۴-۵ نتیجه گیری.....	۸۵
۵-۵ پیشنهادات.....	۸۵
مراجع.....	۸۶
پیوست.....	۹۲

## فهرست شکلها

۳	..... شکل ۱-۱ ربات P2
۴	..... شکل ۱-۲ ربات P3
۵	..... شکل ۱-۳ ربات ASIMO
۶	..... شکل ۱-۴ ربات SURENA II
۷	..... شکل ۱-۵ ربات WI-5
۸	..... شکل ۱-۶ ربات دوپای غیر فعال
۹	..... شکل ۱-۷ ربات سگ بزرگ
۹	..... شکل ۱-۸ ربات شش پا
۱۵	..... شکل ۲-۱ صفحات بررسی حرکت ربات دوپا
۱۶	..... شکل ۲-۲ گام برداری ربات دوپا در صفحه جانبی بر روی سطح شیب دار
۱۶	..... شکل ۲-۳ ناحیه تکیه گاهی
۱۷	..... شکل ۲-۴ حرکت استاتیکی
۱۸	..... شکل ۲-۵ حرکت دینامیکی
۱۹	..... شکل ۲-۶ مدل ربات دوپا در صفحه جانبی
۱۹	..... شکل ۲-۷ گام برداری ربات دوپا در صفحه جانبی
۲۱	..... شکل ۲-۸ مدل گاری-میز برای محاسبه ZMP
۲۲	..... شکل ۲-۹ نقطه ممان صفر
۲۷	..... شکل ۳-۱ شرط لغزشی
۲۸	..... شکل ۳-۲ تغییر هندسی معادلات (۳-۳) و (۵-۳) n=2
۲۹	..... شکل ۳-۳ لرزش حاصل از سوئیچینگ کنترل ناقص
۳۳	..... شکل ۳-۴ لایه مرزی
۳۴	..... شکل ۳-۵ درون یابی کنترل لایه مرزی
۳۵	..... شکل ۳-۶ خطای کنترل بر حسب زمان
۳۵	..... شکل ۳-۷ سطح لغزشی بر حسب زمان
۳۶	..... شکل ۳-۸ سیگنال کنترل بر حسب زمان
۳۷	..... شکل ۳-۹ خطای پاسخ بر حسب زمان
۳۷	..... شکل ۳-۱۰ سیگنال کنترل بر حسب زمان
۳۸	..... شکل ۳-۱۱ سطح لغزشی بر حسب زمان
۴۰	..... شکل ۳-۱۲ ساختار دینامیک های خطای حلقه-بسته
۴۲	..... شکل ۳-۱۳ خطای ردیابی بر حسب زمان
۴۲	..... شکل ۳-۱۴ سیگنال کنترل بر حسب زمان
۴۳	..... شکل ۳-۱۵ سطح لغزشی و لایه مرزی بر حسب زمان

۴۷	۱ چگونگی حرکت ذره.....
۴۸	شکل ۲ ساختار همسایگی حلقه ای.....
۴۹	شکل ۳ گراف متصل کامل.....
۵۰	شکل ۴ ساختار ستاره ای.....
۵۱	شکل ۵ ساختار درختی.....
۵۲	شکل ۶ شبه برنامه بهینه سازی تک هدفی تجمعی ذره.....
۵۳	شکل ۷ الگوریتم بهینه سازی تک هدفی تجمعی ذره.....
۵۴	شکل ۸ فلوچارت ترکیب pso، عملگر همگرایی و واگرایی .....
۵۵	شکل ۹ مفهوم برتری در فضای دو هدفی.....
۵۶	شکل ۱۰ جبهه پارتو مجموعه ای از جواب ها در فضای دو هدفی.....
۵۷	شکل ۱۱ شبه برنامه الگوریتم بهینه سازی چند هدفی تجمعی ذره.....
۵۸	شکل ۱۲ نمایش مفهوم dominance – E .....
۵۹	شکل ۱۳ مثالی از روش dominance – E در فضای دو هدفی .....
۶۰	شکل ۱ مقایسه جبهه پارتو بهینه سازی چند هدفه تجمعی ذره، الگوریتم ژنتیک NSGA II و سیگما .....
۶۱	شکل ۲ تغیرات زاویه $\theta_1$ بر حسب زمان برای نقاط بهینه پارتویی A، B و C .....
۶۲	شکل ۳ تغیرات زاویه $\theta_2$ بر حسب زمان برای نقاط بهینه پارتویی A، B و C .....
۶۳	شکل ۴ تغیرات زاویه $\theta_3$ بر حسب زمان برای نقاط بهینه پارتویی A، B و C .....
۶۴	شکل ۵ نیروی کنترلی $U_1$ برای نقطه بهینه پارتویی A .....
۶۵	شکل ۵ نیروی کنترلی $U_2$ برای نقطه بهینه پارتویی B .....
۶۶	شکل ۵ نیروی کنترلی $U_1$ برای نقطه بهینه پارتویی C .....
۶۷	شکل ۵ نیروی کنترلی $U_2$ برای نقطه بهینه پارتویی A .....
۶۸	شکل ۵ نیروی کنترلی $U_1$ برای نقطه بهینه پارتویی B .....
۶۹	شکل ۵ نیروی کنترلی $U_2$ برای نقطه بهینه پارتویی C .....
۷۰	شکل ۵ نیروی کنترلی $U_1$ برای نقطه بهینه پارتویی A .....
۷۱	شکل ۵ نیروی کنترلی $U_2$ برای نقطه بهینه پارتویی B .....
۷۲	شکل ۵ نیروی کنترلی $U_1$ برای نقطه بهینه پارتویی C .....
۷۳	شکل ۵ نیروی کنترلی $U_3$ برای نقطه بهینه پارتویی A .....
۷۴	شکل ۵ نیروی کنترلی $U_2$ برای نقطه بهینه پارتویی B .....
۷۵	شکل ۵ نیروی کنترلی $U_3$ برای نقطه بهینه پارتویی C .....
۷۶	شکل ۵ خطای تعقیب زاویه $\theta_1$ بر حسب زمان برای نقاط بهینه پارتویی A، B و C .....
۷۷	شکل ۵ خطای تعقیب زاویه $\theta_2$ بر حسب زمان برای نقاط بهینه پارتویی A، B و C .....
۷۸	شکل ۵ خطای تعقیب زاویه $\theta_3$ بر حسب زمان برای نقاط بهینه پارتویی A، B و C .....

## فهرست جداول

جدول ۱-۲ پارامترهای آنتروپومتریک برای مدل..... ۲۰

جدول ۵-۱ مقادیر متغیرهای طراحی های و توابع هدف برای نقاط بهینه پارتویی C، B و A ۷۵

## کنترل بهینه ربات دو پا در صفحه جانبی گام برداری بر روی سطح شیبدار

میلاد طاهر خورسندی

مطالعات زیادی برای حرکت و کنترل ربات دوپا در صفحه ساجیتال انجام شده است، در صورتی که انتظار می‌رود که یک ربات دوپا در هنگام مواجه شدن با موانع بتواند منحصراً در صفحه جانبی گام بردارد. در این پایان نامه به کنترل مد لغزشی بهینه ربات دوپایی که در صفحه جانبی گام بر می‌دارد پرداخته می‌شود. یک مدل مناسب سه لینکی برای ربات در نظر گرفته شده است و هر دو فاز حرکت روی یک پا و حرکت روی دوپا برای حفظ نقطه ممان صفر درون ناحیه تکیه گاهی و حفظ پایداری در نظر گرفته شده است. انتخاب یک کنترلر مناسب به دلیل غیر خطی بودن معادلات دینامیکی، عدم قطعیت پارامتری و حضور دینامیک‌های مدل نشده حائز اهمیت است. از کنترل مد لغزشی به عنوان یک کنترلر مقاوم در برابر نامعینی‌های پارامتری سیستم برای کنترل این ربات استفاده شده است. هنگام استفاده از کنترل مد لغزشی، یک مسئله مصالحه بین خطاهای زاویه‌ها و ورودی‌های کنترل به وجود می‌آید. بنابراین ضرایب این کنترلر باید به صورت بهینه ای طراحی شوند. از الگوریتم بهینه سازی چند هدفه تجمعی ذره برای طراحی بهینه پارامترهای کنترل مد لغزشی استفاده شده است. جبهه پارتوى به دست آمده از این الگوریتم چند هدفه با دو الگوریتم معروف و کارایی، الگوریتم ژنتیک چند هدفه Modified NSGA II و الگوریتم چند هدفه سیگما مقایسه شده است.

**کلمات کلیدی:** ربات دوپا، کنترل مد لغزشی، بهینه سازی تجمعی ذره، بهینه سازی چند هدفی، گام برداری در صفحه جانبی، شب، نقطه ممان صفر.

## Abstract

### **Optimal Control of Biped Robot for Lateral Stepping on Slope**

Milad Taher Khorsandi

Lately, many researchers have focused on walking of the biped robots in the sagittal plane. In one hand, biped robots require the capability to step merely laterally, in confronting the obstacles such as a wall. On the other hand, the dynamic equations of a biped robot in the lateral plane are extremely nonlinear and heavy to control. Therefore, this project presents a nonlinear sliding-mode tracking control for the biped robots that step purely in the lateral plane on slope. A three-link planer model is considered as a model of the Biped robot in the lateral plane. Both single support phase and double support phase have been negotiated to take the Zero Moment Point (ZMP) inside the support polygon. Sliding-mode control is used as the method with proper performance due to its fundamental property of robustness and invariance to model parametric uncertainties. When sliding-mode control is utilized to track the desired trajectories of the joints, there has to be a trade-off between tracking errors and control efforts. Thus, the coefficients of sliding-mode control have to be determined optimally. Multi-objective particle swarm optimization algorithm is used to obtain the Pareto front of these non-commensurable objective functions to determinate the sliding-mode parameters. The obtained Pareto front by the multi-objective algorithm is contrasted with two prominent and performable algorithms, modified NSGAII and Sigma method.

Keywords: Biped Robot; Sliding-Mode Tracking Control; Particle Swarm Optimization; Multi-objective Optimization; Lateral Stepping; Slope; Zero Moment Point.

فصل اول:

# پیشگفتار

ربات یک ماشین مکانیکی دارای هوش مصنوعی است که می تواند کارها را به صورت خودکار یا تحت کنترل از راه دور انجام دهد. در تعریفی کاربردی، ربات یک ماشین الکترونیک- مکانیکی است که توسط برنامه نویسی کامپیوتری هدایت می شود. ربات ها می توانند اتوماتیک، نیمه اتوماتیک و کنترل از راه دور باشند. ربات ها از دو پا<sup>۱</sup> مانند آسیمو<sup>۲</sup> و تپیو<sup>۳</sup> تا نانو ربات<sup>۴</sup>، ربات های تجمعی<sup>۵</sup>، ربات های صنعتی<sup>۶</sup>، ربات های نظامی<sup>۷</sup>، ربات های متحرک و خدمات<sup>۸</sup> دهنده تقسیم می شوند.

منافعی که در راه رفتن ربات دوپا در محیط هایی با تکیه گاه های گسسته و یا برای عبور از موانع وجود دارد، باعث شده که راه رفتن ربات دوپا و به طور کلی کنترل این ربات ها برای محققان کنونی جذاب باشد. یکی از مهمترین علل این تحقیقات سیر تکاملی طبیعت است. سیر تکاملی طبیعت و حضور مکانیزم انتخاب طبیعی سبب به وجود آمدن موجوداتی با ساخت افزار و روش‌های کنترلی شده، که اکنون در حال زندگی در پنهان هستی می باشند. با اعتماد به طبیعت و مکانیزم های بهینه سازی موجود در آن می توان ادعا کرد که این روش های حرکتی برای محیط های زندگی این موجودات به طور نسبی بهینه سازی شده اند. لذا منافعی در راه رفتن ربات دوپا در محیط هایی با تکیه گاه های گسسته و یا دارای موانع وجود دارد که باعث شده که تحقیقات بسیاری به راه رفتن ربات دوپا و به طور کلی کنترل این ربات ها اختصاص داده شود. همچنین تولید ربات های یاری دهنده انسان و حضور این ربات ها در محیط های زندگی بشر علاوه بر بهینگی نسبی این گونه راه رفتن، باعث می شود که انسان ها با موجوداتی شبیه خود در تعامل باشند که خو گرفتن با این موجودات را آسان تر می کند. از ربات های دوپا در عملیات امداد و نجات، کمک به سالمندان، انجام کارهای پر خطر به جای انسان، ساخت و طراحی بهتر پروتز<sup>۹</sup> و ارتزها<sup>۱۰</sup> استفاده می شود.

<sup>1</sup> Bipedal robot

<sup>2</sup> ASIMO

<sup>3</sup> TOPIO

<sup>4</sup> Nano robots

<sup>5</sup> Swarm robots

<sup>6</sup> Industrial robots

<sup>7</sup> Military robots

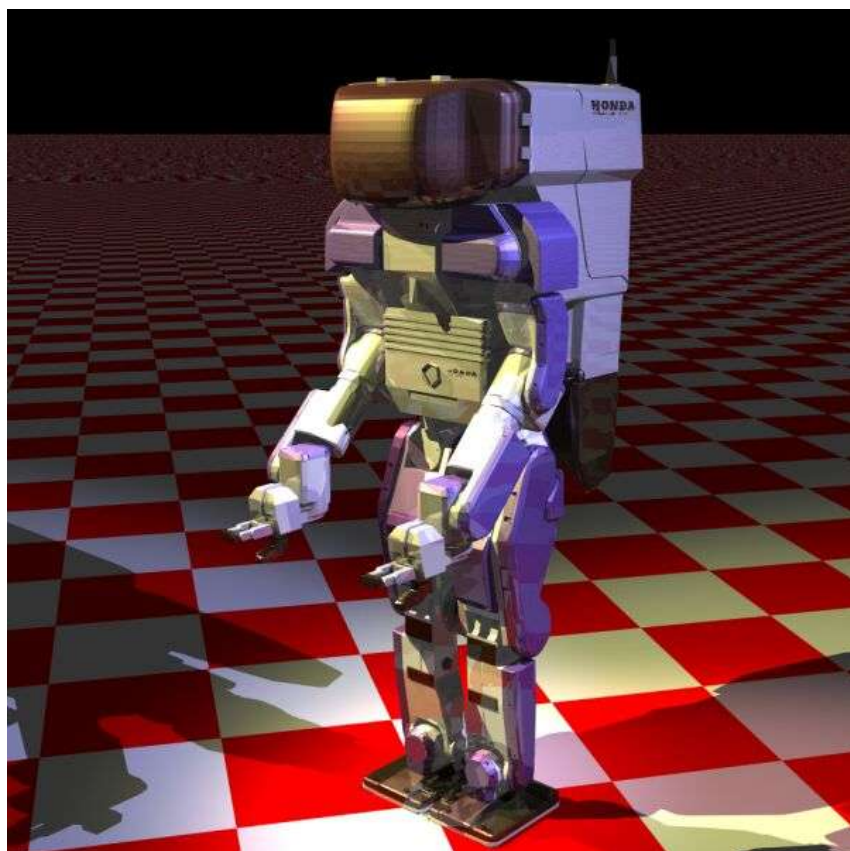
<sup>8</sup> Mobile and servicing robots

<sup>9</sup> Prosthesis

<sup>10</sup> Orthosis

## ۱- دوپا ربات‌های

مهترین هدف در طراحی ربات‌های دوپا، حفظ تعادل در راه رفتن دینامیکی است. از انواع این ربات‌ها می‌توان به P3، P2 و ربات‌های دوپای غیر فعال اشاره کرد. Waseda، Meltran، SURENA II، ASIMO و به همراه آن P3 به وسیله Honda wake، Haijkawa، Hirose، Hirai از سال ۱۹۸۶ تاکنون در حال توسعه می‌باشند [۲]. این ربات‌دارای ۱۲ درجه آزادی است و در نیم تن پایین خود مشتمل بر ۳ درجه آزادی در هر hip، ۱ درجه آزادی در هر زانو و ۲ درجه آزادی در مچ پا است. در این ربات سه کنترل کننده به منظور برقراری تعادل در حضور اغتشاشات و خطاهای مدلسازی و ناهمواریهای سطح در نظر گرفته شده است.



شکل ۱-۱ - ربات P2



شکل ۱-۲ - ربات P3.

ربات ASIMO در سال ۲۰۰۰ طراحی شده که دارای ۱۶ مفصل می باشد. پشت این ربات صلب است و برای خم شدن بر روی دو زانو خم می شود. این ربات دارای نسخه های متعددی می باشد که آخرین نسخه آن در سال ۲۰۱۱ می باشد. از ویژگی های این نسخه می توان به بیشتر خودکار<sup>۱</sup> بودن و تعادل<sup>۲</sup> بهتر اشاره کرد. لازم به تاکید است که محققان شرکت Honda سعی بر این داشته اند که ربات های طراحی شده را از سیستم کنترل شونده<sup>۳</sup> به سیستم کنترل خودکار<sup>۴</sup> بر پایه تصمیم گیری بر اساس محیط و رفتار انسان ها سوق دهند.

<sup>۱</sup> Autonomous

<sup>۲</sup> Balance

<sup>۳</sup> Automatic machine

<sup>۴</sup> Autonomous machine



شکل ۱-۳- ربات ASIMO

ربات سورنا II یک ربات دوپا است که در سال ۲۰۱۰ توسط ایران ساخته شد . بنابرگزارش IEEE از تحلیل ربات های پیشرفته دنیا، این ربات در ردیف پنجم ربات های دوپا، بعد از به ترتیب: ASIMO ساخت ژاپن، Reem-B ساخت اسپانیا، Justin ساخت آلمان و Charli ساخت امریکا قرار گرفته است. ربات سورنا II توسط انجمن تخصصی مراکز تحقیق و توسعه صنایع و معادن و مرکز وسائل نقلیه پیشرفته دانشگاه تهران (CAV) ساخته شده است. سورنا II هم اکنون دارای ۱۲ درجه آزادی در پاها، ۸ درجه آزادی در دست ها و ۲ درجه آزادی در سر است. گام برد اشتین آرام و شبیه انسان، حرکات منظم دست و پا و حرکات مشابه رفتار انسانی و همچنین ایستادن بر روی یک پا، از ویژگی های سورنا II است. همچنین از تجهیرات جانبی این ربات می توان به دوربین، میکروفون و اسپیکر اشاره کرده و سیستم های محرک این ربات نیز شامل موتور دی سی، سرو موتور، هارمونیک درایو و گیربکس سیاره ای است. قابل ذکر است که ربات سورنا I که در سال ۲۰۰۸ ساخته شد، دارای ارتفاع ۱۶۵ سانتی متر و وزن ۶۰ کیلوگرم بود ولی ربات سورنا II دارای ارتفاع ۱۴۵ سانتی متر و وزن ۴۵ کیلوگرم می باشد.

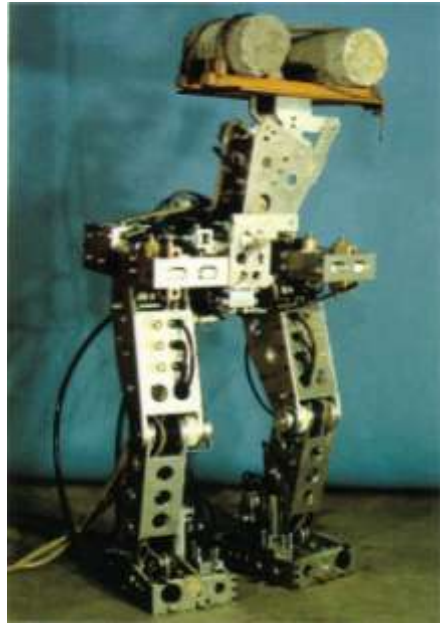


شکل ۱-۴ - ربات SURENA II

ربات Melrtan از اوایل سال ۱۹۹۰ در دانشگاه Tsukuba طراحی شده است [۳]. این ربات یک ربات صفحه‌ای است و دارای ۶ درجه آزادی می‌باشد. در این ربات پاها بدون جرم هستند و همچنین جرم بالا تنہ نیز ثابت در نظر گرفته شده است. مرکز جرم این ربات همواره در یک ارتفاع ثابتی می‌باشد.

محققان دانشگاه Waseda از سال ۱۹۶۹ روی رباتهای دو پا فعال کار کرده‌اند. آن‌ها در ابتدا روی ربات‌های دوپای استاتیکی کار کردند ولی ربات‌های بعدی، دارای حرکت دینامیکی بودند [۴].

ربات ۵-WL یک ربات راه رونده استاتیکی با ۱۱ درجه آزادی است که هر گام ۲۰cm را در ۲ دقیقه طی می‌کند [۵].



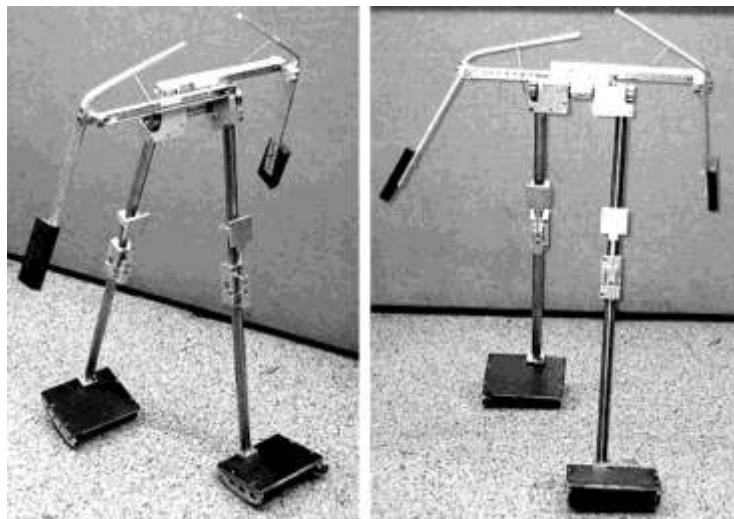
شکل ۱-۵ - ربات WL-5.

ربات WL-12R-III یک ربات ۱۲ درجه آزادی است که حرکت آن بر طبق منحنی مسیر مفاصل که از قبل تعریف شده اند می باشد.

از دیگر رباتهای دوپا می توان به ربات های دوپای غیر فعال اشاره کرد که بدون هیچ کارانداز<sup>۱</sup> و سیستم کنترل به آرامی و با حفظ تعادل بر روی سطح شیبدار تحت تاثیر وزنشان حرکت می کنند [۶ و ۷]. مک گیر<sup>۲</sup> اولین فردی است که این ربات ها را مورد بررسی قرار داده است [۶].

---

<sup>1</sup> Actuator  
<sup>2</sup> McGeer



شکل ۱-۶- ربات دو پای غیر فعال.

### ۱-۳- رباتهای چهارپا

از ربات های چهار پای ساخته شده می توان به ربات ساخته شده توسط Holland & Snaith در سال ۱۹۹۲ اشاره کرد که از حرکت های پنوماتیکی برای به حرکت درآوردن آن استفاده شده است . این ربات هنگام بلند شدن نظیر خرگوش به زمین ضربه می زند [۱]. معروف ترین ربات چهارپا، ربات سگ بزرگ<sup>۱</sup> است. این ربات توسط شرکت دینامیک بستن<sup>۲</sup> و با همکاری شرکت فاستر میلر<sup>۳</sup> که یک شرکت ساخت ربات در امریکا با اهداف نظامی می باشد و با کمک آزمایشگاه های ناسا<sup>۴</sup> و دانشگاه هاروارد<sup>۵</sup> در سال ۲۰۰۵ ساخته شد. وزن این ربات ۱۱۰ کیلوگرم می باشد و توانایی حمل ۱۵۰ کیلوگرم را دارد. همچنین این ربات می تواند از سطحی با شیب ۳۵ درجه را بالا برود.

<sup>1</sup> Big Dog

<sup>2</sup> Boston Dynamics

<sup>3</sup> Foster-Miller

<sup>4</sup> NASA Jet Propulsion Laboratory

<sup>5</sup> Harvard University Concord Field Station